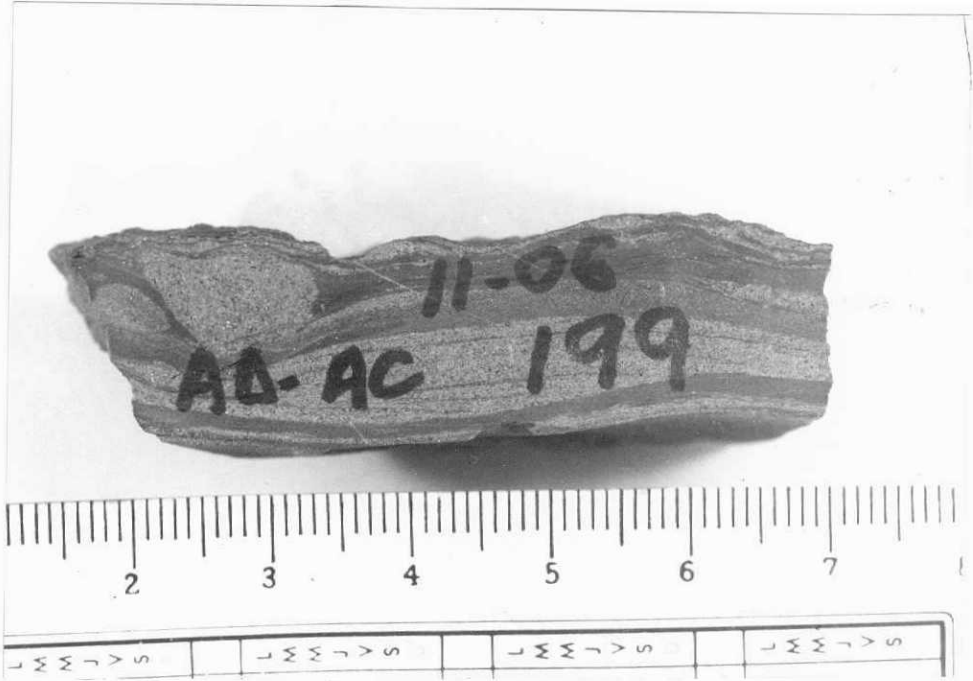


11-06- AD-AC- 300 : Micropaleocauce en la formación Herreria.Nivelillos de pizarras y areniscas.



11–08–AD–AC–301.– Panorámica del Valle Glaciar de San Miguel, al fondo el Valle del Sil en Villablino. Se observan los circos y hombreras. El valle está excavado en materiales cámbricos y precámbricos.

11–08–AD–AC–302

Aspecto de los materiales precámbricos. Serie turbidítica.

Al SE de Parada la Vieja.

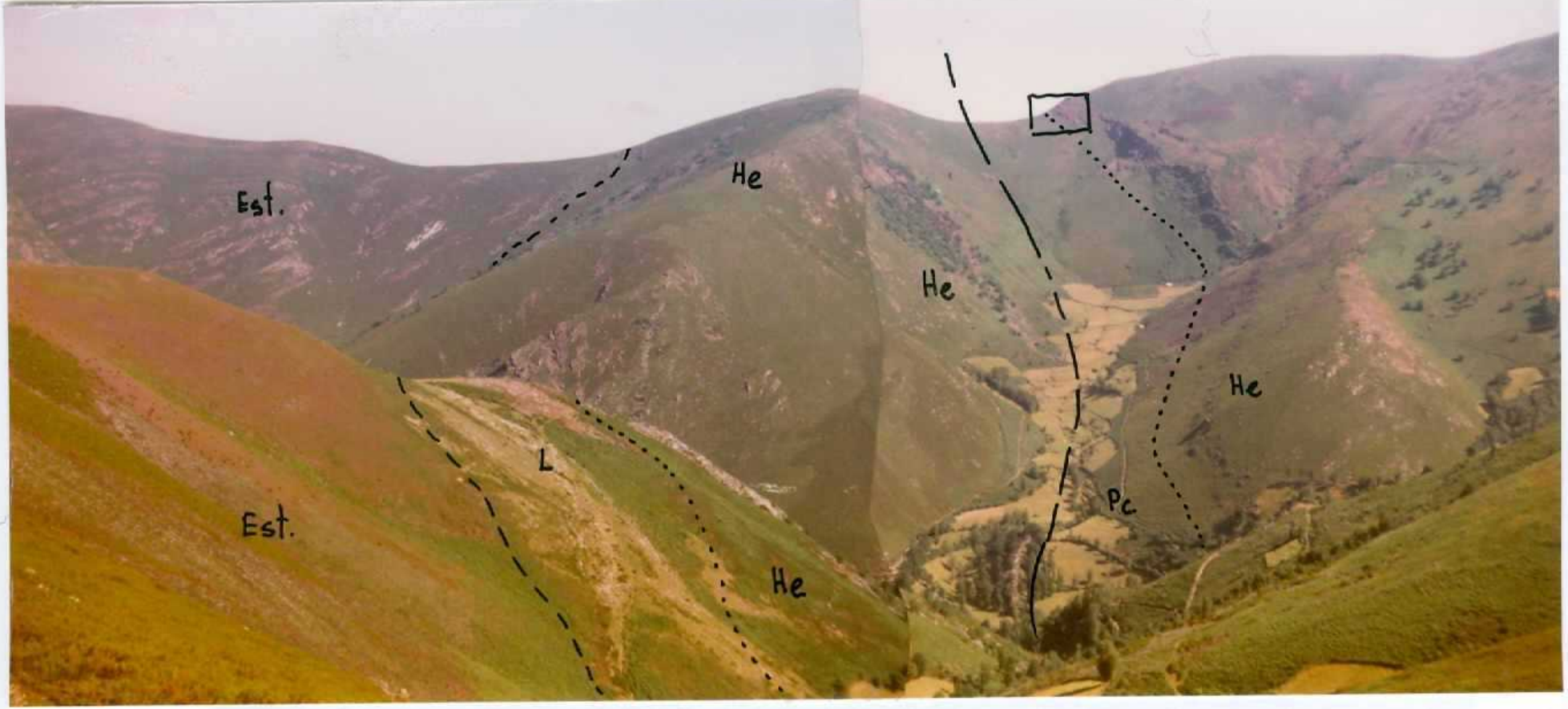


11–08–AD–AC–303

Precámbrico del Narcea. Se observa claramente la estratificación y la esquistosidad.

SE de Parada la Vieja





11–08–AD–AC–304.– Panorámica al E de Valmayor. (Pc) Precámbrico; (He) Herrería; (L) Lancara; (Est) Estefaniense. El recuadro detallado en la foto siguiente.

11–08–AD–AC–305

Conglomerados de la base del Herrería. (Discordancia Cámbrico–Precámbrico). La foto está tomada en el recuadro señalado en la anterior.





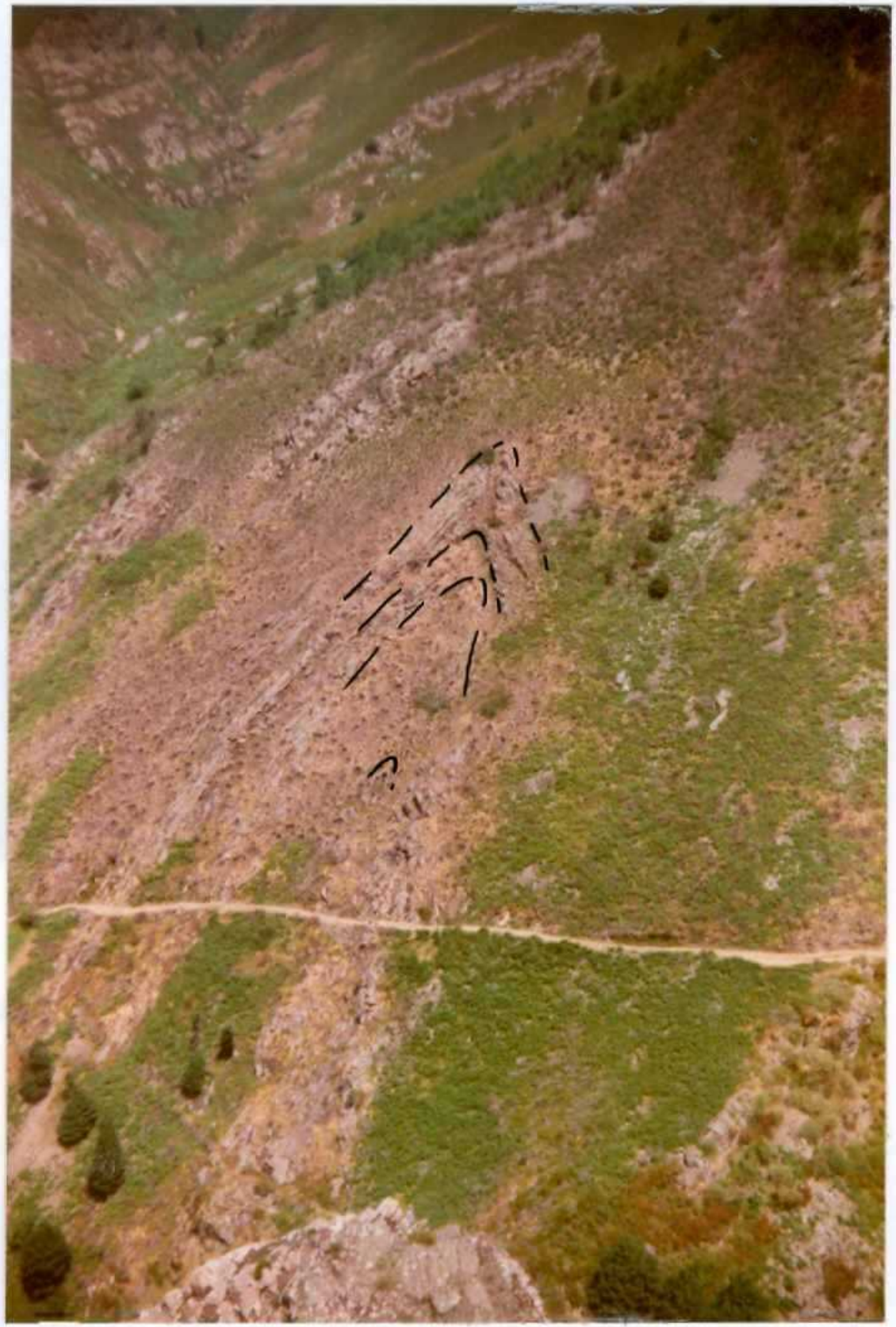
11–08–AD–AC–306.– Panorámica al Tras de los Lobos al SW de Villar de Roguero. Herrería (He) en la falla inversa encima del Precámbrico (Pc). Retazos de Estefanienses (Est) han quedado pinzados entre la falla. Foto tomada desde la Cra. del Puerto de Leitariegos.



11–08–AD–AC–307.– Estratificación cruzada en las cuarcitas blancas de la Formación Herrería. Al W del Collado de los Cardavales.

11–08–AD–AC–308

Pliegues en las Areniscas del Herrería. Al E de Valmayor.



11–08–AD–AC–309

"Flutes" en las pizarras rojas del Herrería. Cra. de Cibea a Genestoso.

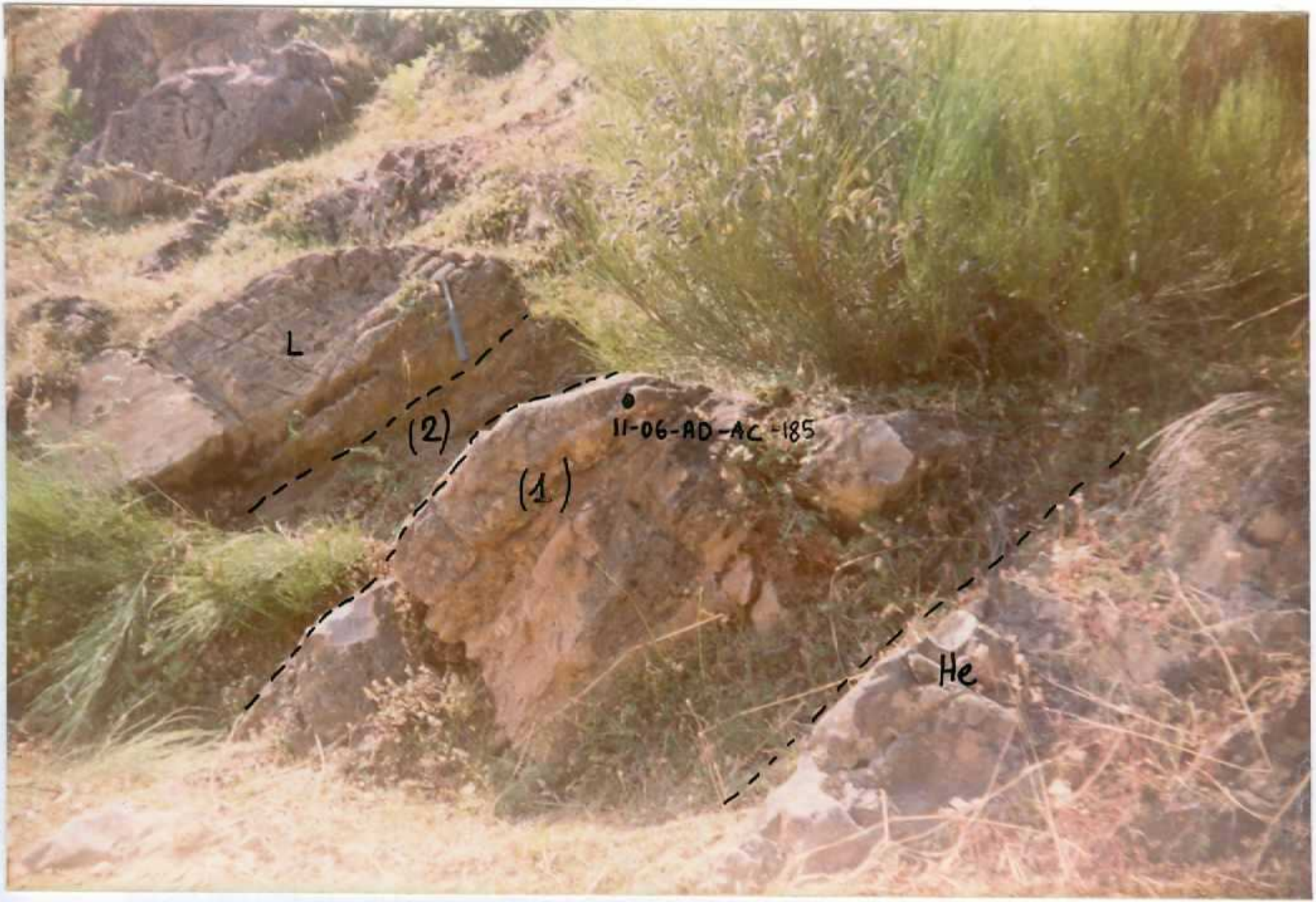




11–08–AD–AC–310.– Barita (Blanca) en las dolomías del Lancara. Minas de Cibea.



11–08–AD–AC–311.– Cabalgamiento del Precámbrico (Pc) sobre las dolomías del Lancara (L). El martillo ocupa la zona milonitizada. Al NE de Cibea.



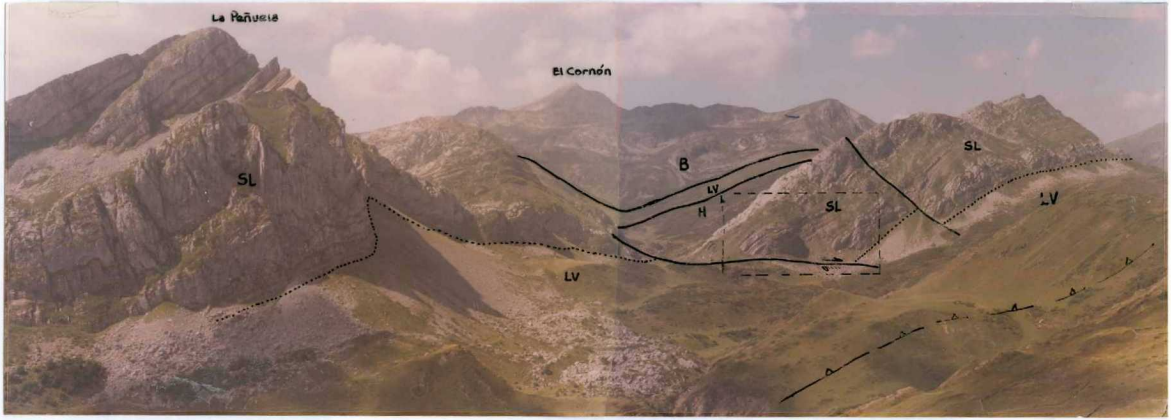
11–08–AD–AC–312.– Contacto concordante entre el Herrería (He) y Lancara (L). (1) Arenisca calcárea. (2) Lutitas gris-azul. Foto tomada en el Arroyo de la Mesta al NE de Cibea.



11–08–AD–AC–313.– Formación Lancara. Abajo las dolomías del miembro inferior; arriba la caliza ::Griotte". Al SW de la Gobia de Cibea.



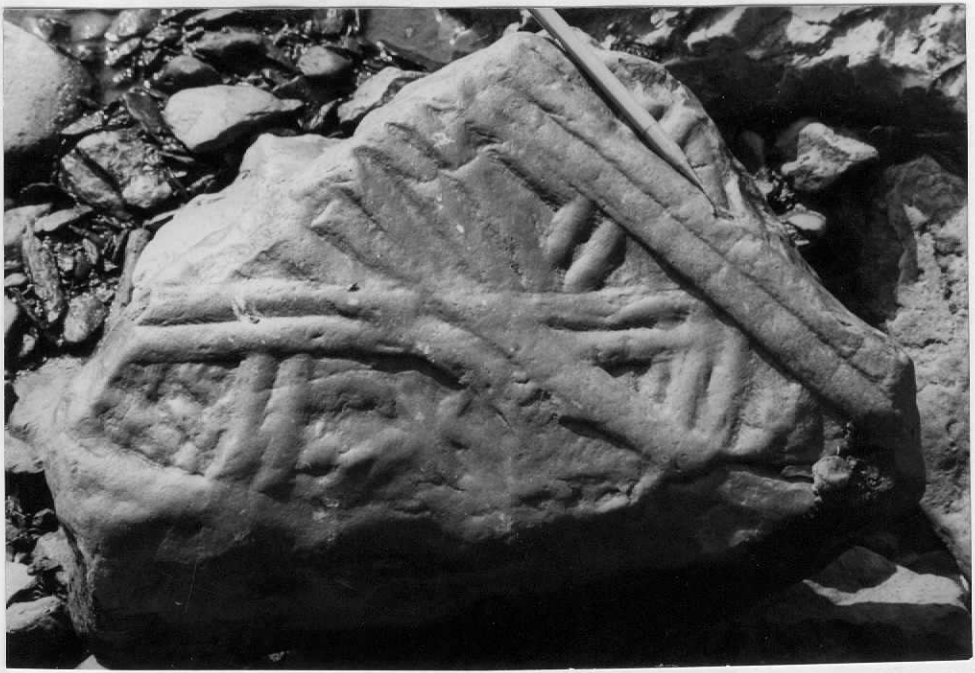
11–08–AD–AC–314.– Panorámica de la zona El Cornón–La Peñuela. B (Barrios; LV (La Vid); H (Huergas); SL (Sta. Lucia). El recuadro va en detalle en la fotografía siguiente.



11–08–AD–AC–314.– Panorámica de la zona El Cornón–La Peñuela. B (Barrios; LV (La Vid); H (Huergas); SL (Sta. Lucia). El recuadro va en detalle en la fotografía siguiente.



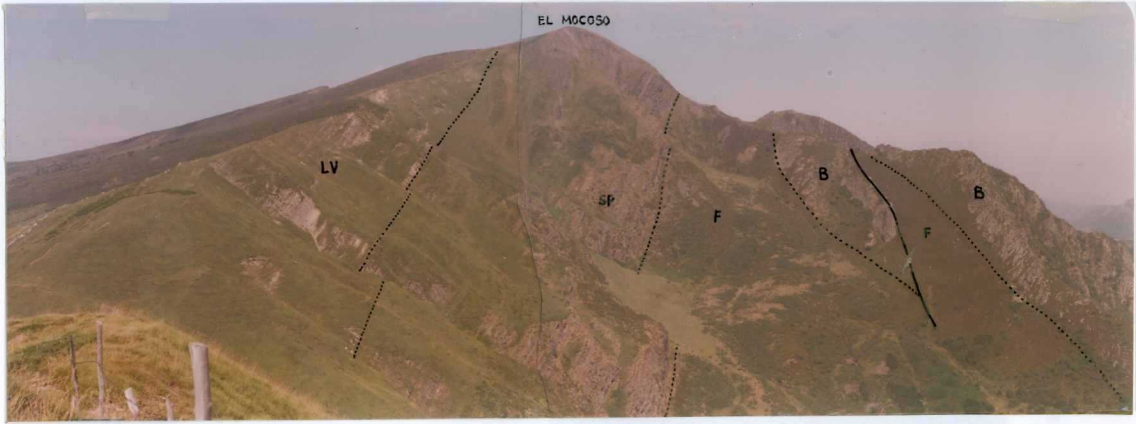
11–08–AD–AC–315.– Detalle del recuadro de la foto anterior. Falla de desgarre; LV (La Vid); SL (Sta. Lucia).



11–08–AD–AC–316.– Cruzianas de la Formación Barrios, en las cercanías del Cornón.



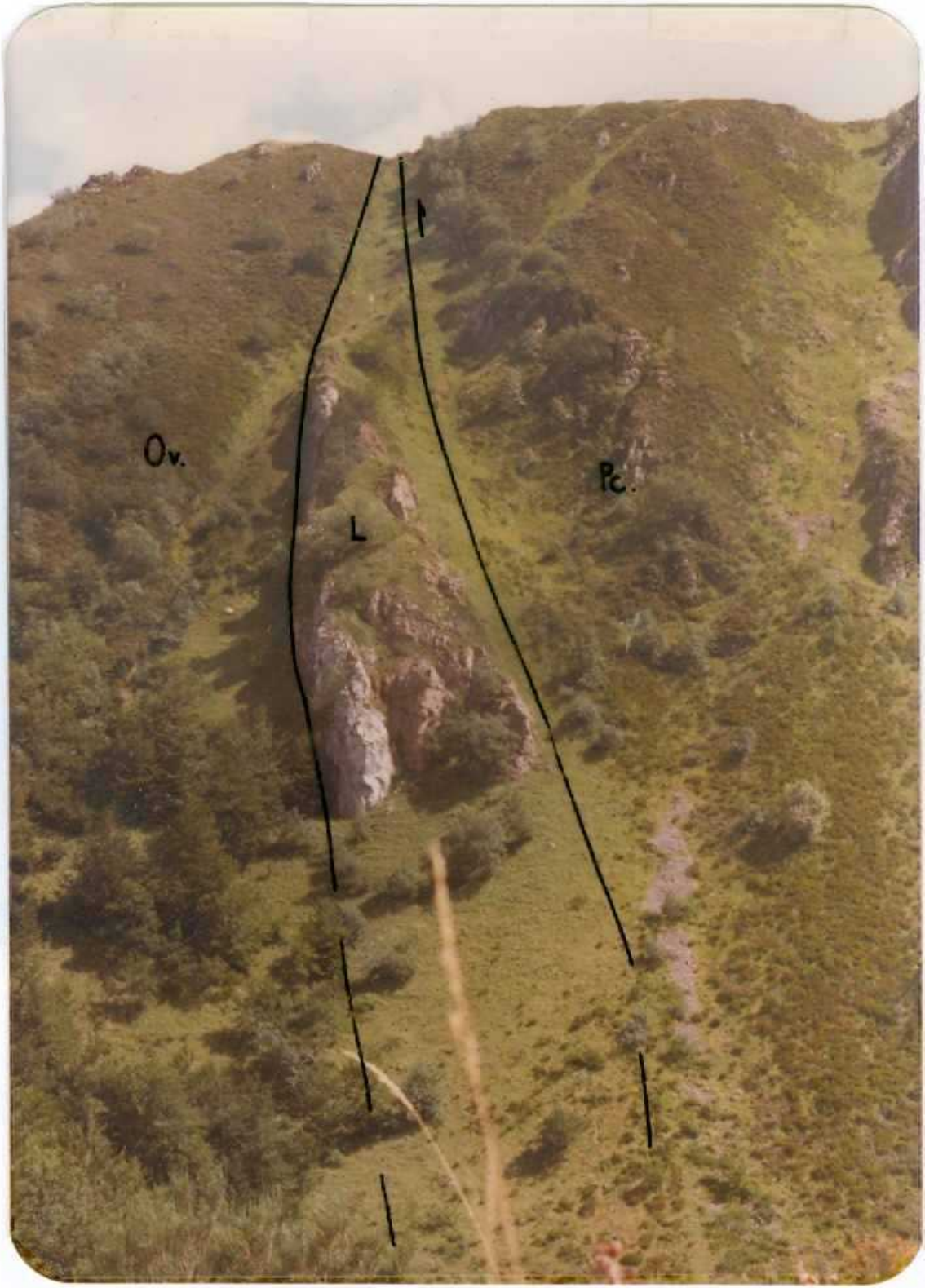
11–08–AD–AC–317.– Vista del Mocoso desde la vertiente E; sucesión concordante desde Barrios a La Vid. Una falla repite la cuarcita de Barrios y las pizarras de Formigoso.
B (Barrios); F (Formigoso); SP (San Pedro); LV (La Vid).



11–08–AD–AC–317.– Vista del Mocoso desde la vertiente E; sucesión concordante desde Barrios a La Vid. Una falla repite la cuarcita de Barrios y las pizarras de Formigoso.
B (Barrios); F (Formigoso); SP (San Pedro); LV (La Vid).

11–08–AD–AC–318

Calizas cámbricas de la Formación Lancara "pinzadas" en la falla, en las proximidades del Lago Bueno. A la izquierda la Formación Oville (OV) a la derecha el Precámbrico (Pc).





11–08–AD–AC–319.– Pliegues en las cuarcitas y pizarras del techo de la Formación Barrios. ("Capas de Transición" de V. Den BOSCH). Cerca del nacimiento del Río Junqueras.



11–08–AD–AC–320.– Contacto entre las cuarcitas de Barrios y Pizarras de Formigoso, al W del vértice Mocoso.



11–08–AD–AC–321.– Vista del cabalgamiento de Villar de Vildas a su paso por Caunedo. Se observa la mina de mercurio en las calizas de la Formación Lancara.



11–08–AD–AC–322.– Areniscas ferruginosas, con niveles de pizarras de la Formación San Pedro/Furada; en el km 37 de la Cra. de Belmonte al Pto. Somiedo.



11–08–AD–AC–323.– Pizarras y niveles de calizas de la Formación La Vid, replegados. Arroyo de la Mozarra,al N de Lumajo.



11–08–AD–AC–324.– Anticlinal de Gua, al E de la Cra. de Belmonte al Pto. Somiedo. El núcleo en la Vid y los flancos caliza de Sta. Lucia.



11–08–AD–AC–325.– Detalle de los pliegues y fracturas del recuadro de la foto anterior.

11–08–AD–AC–326

Pliegues de las Formación Sta. Lucia y Huergas, al NE de Castro.



11–08–AD–AC–326

Pliegues de las Formación Sta. Lucia y Huergas, al NE de Castro.





11–08–AD–AC–327.– Detalle de las Calizas de Sta. Lucia de la foto anterior, a su paso por el Km 22,5 de la Cra. de Belmonte al Pto. Somiedo.

11–08–AD–AC–328

Pizarras de Huergas típicas. En la carretera de la Vega de los Viejos al Pto. de Somiedo.

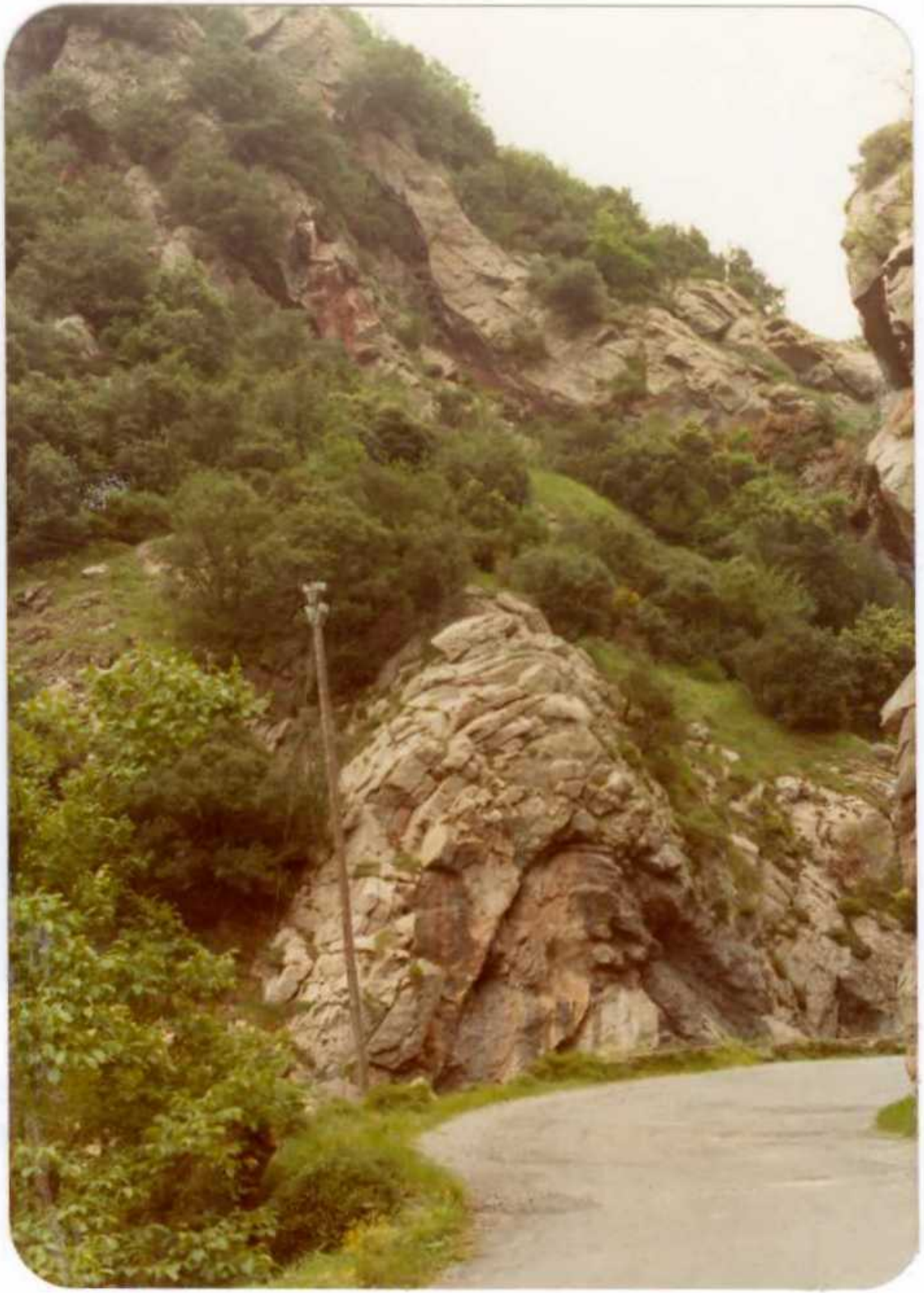




11–08–AD–AC–329.– Areniscas y pizarras de Huergas replegadas en la proximidad del cabalgamiento de Villar de Vildas a la altura del Collado de las Minas de Caunedo.

11–08–AD–AC–330

Anticlinal en las calizas encriníticas rojas del techo de la Formación La Vid. Km 22 de la Cra. de Belmonte al Pto. Somiedo.



11–08–AD–AC–331

Calizas de la Formación Portilla, en el desfiladero del Río Somiedo; Km 24,5 de la Cra. Belmonte–Pto. Somiedo.





11–08–AD–AC–332.– Calizas coralinas de la Formación Portilla. Se observan ejemplares de Phyllipsastraea. En la Cra. de Pineda.



11–08–AD–AC–333.– Pistas de grandes dimensiones en calizas margo-arenosas de la Formación Portilla. Al S de Santullano (Valle de Pigüeña).



11–08–AD–AC–334.– Panorámica mostrando el contacto entre las calizas de la Formación Portilla (a la izquierda) y las cuarcitas del Devónico Superior, en Pola de Somiedo. Flanco SW del sinclinal de los Lagos de Saliencia.

11–08–AD–AC–335

Ripples en areniscas ferruginosas del Devónico superior. AL fondo calizas de la Formación Portilla.

Km 24,5 Cra. de Belmonte al Pto. Somiedo;

Flanco NE del sinclinal de los Lagos de Saliencia. Al fondo las calizas de Portilla.





11–08–AD–AC–336.– Pliegues en calizas de Sta. Lucia en la zona anticlinal situada entre los sinclinales de la Vega de los Viejos y la Cueta.



11–08–AD–AC–337.– Vista de algunos de los pliegues de la foto anterior desde otro ángulo.

11–08–AD–AC–338

Caliza de Montaña, dolomitizada en el desfiladero del Río Somiedo.



11–08–AD–AC–339

Aspecto de la Formación San Emiliano, en la Cra. de Pola al Valle del Lago. Se observan las calizas intercaladas en contacto neto con los materiales detríticos del resto de la formación.



11–08–AD–AC–340

Pliegue en las pizarras y areniscas de la Formación San Emiliano.

Cra. de Pola al Valle del Lago.





11–08–AD–AC–341.– Intrusión de dos diques (1 y 2) de pórfidos cuarzograníticos entre las pizarras del Precámbrico. En las proximidades de Pedrueño.



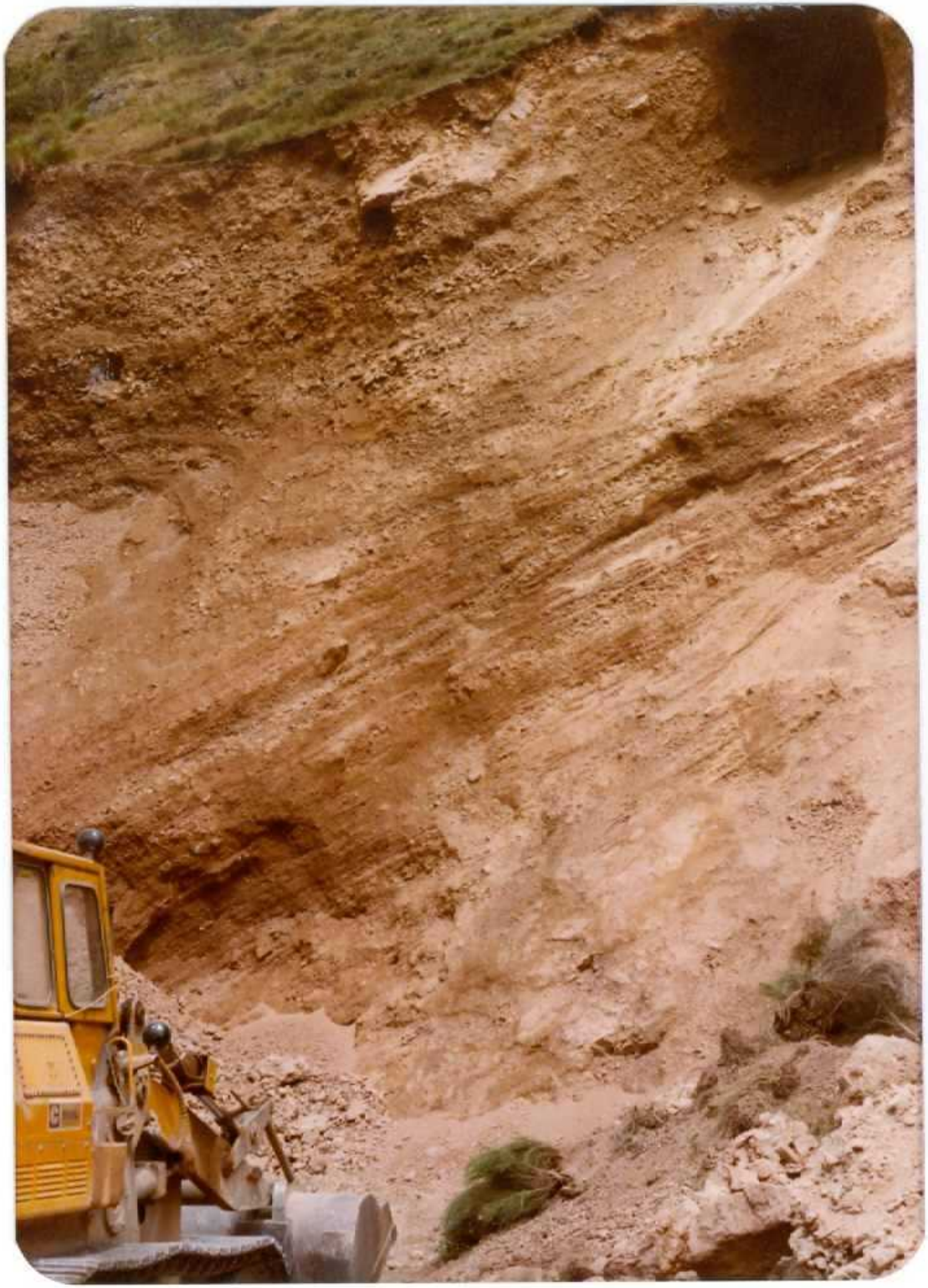
11–08–AD–AC–342.– Vista desde Fuentes de Corbero al sinclinal estefaniense de la Cuenca de Carballo.

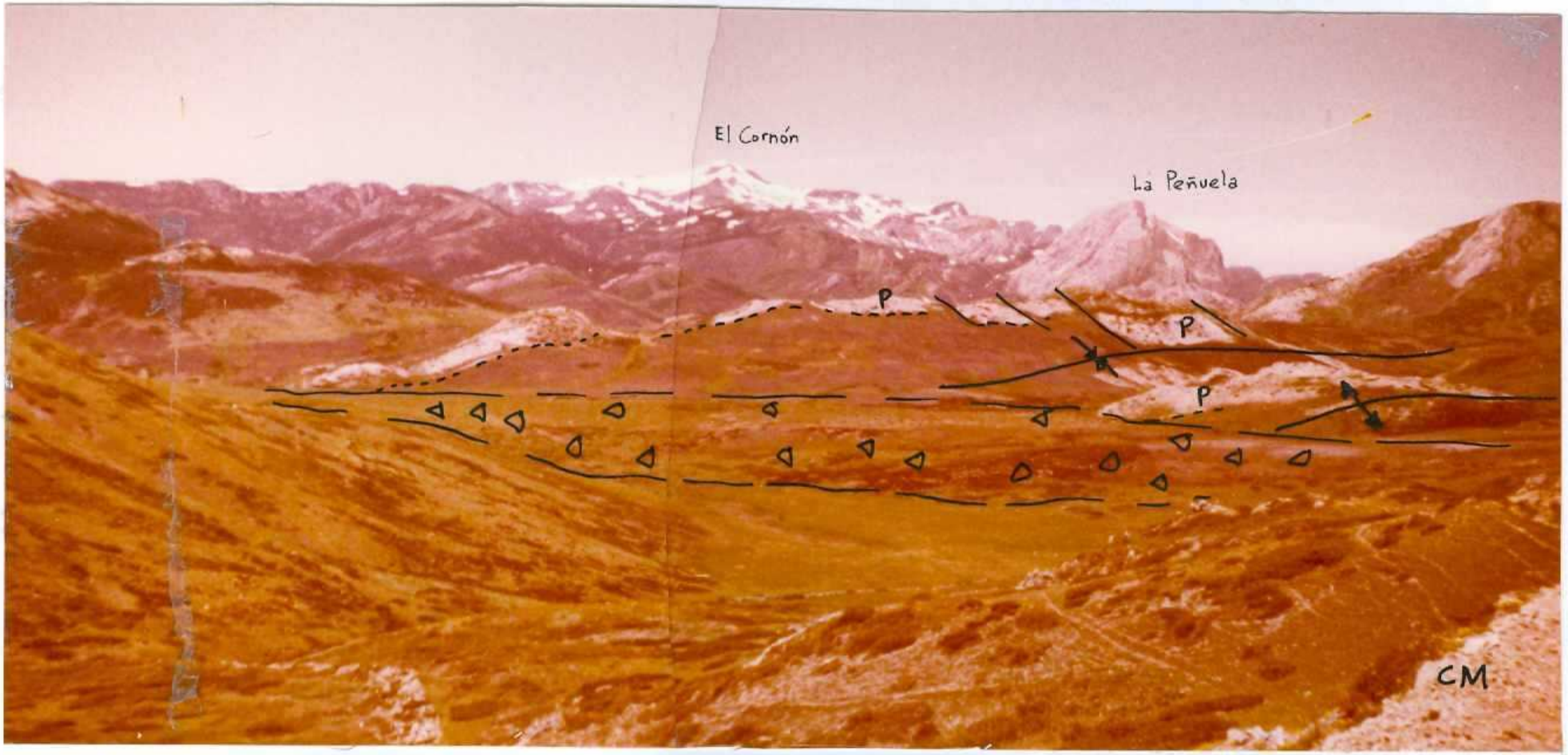


11–08–AD–AC–343.– Detalle de una disyunción en bolas, en las areniscas del Estefaniense de la Cuenca de Carballo. Tomada en la pista de Fuentes de Corbero.

11–08–AD–AC–344

Derrubios de ladera procedentes de la Caliza de Montaña, en la Cra. de Pola al Valle del Lago.



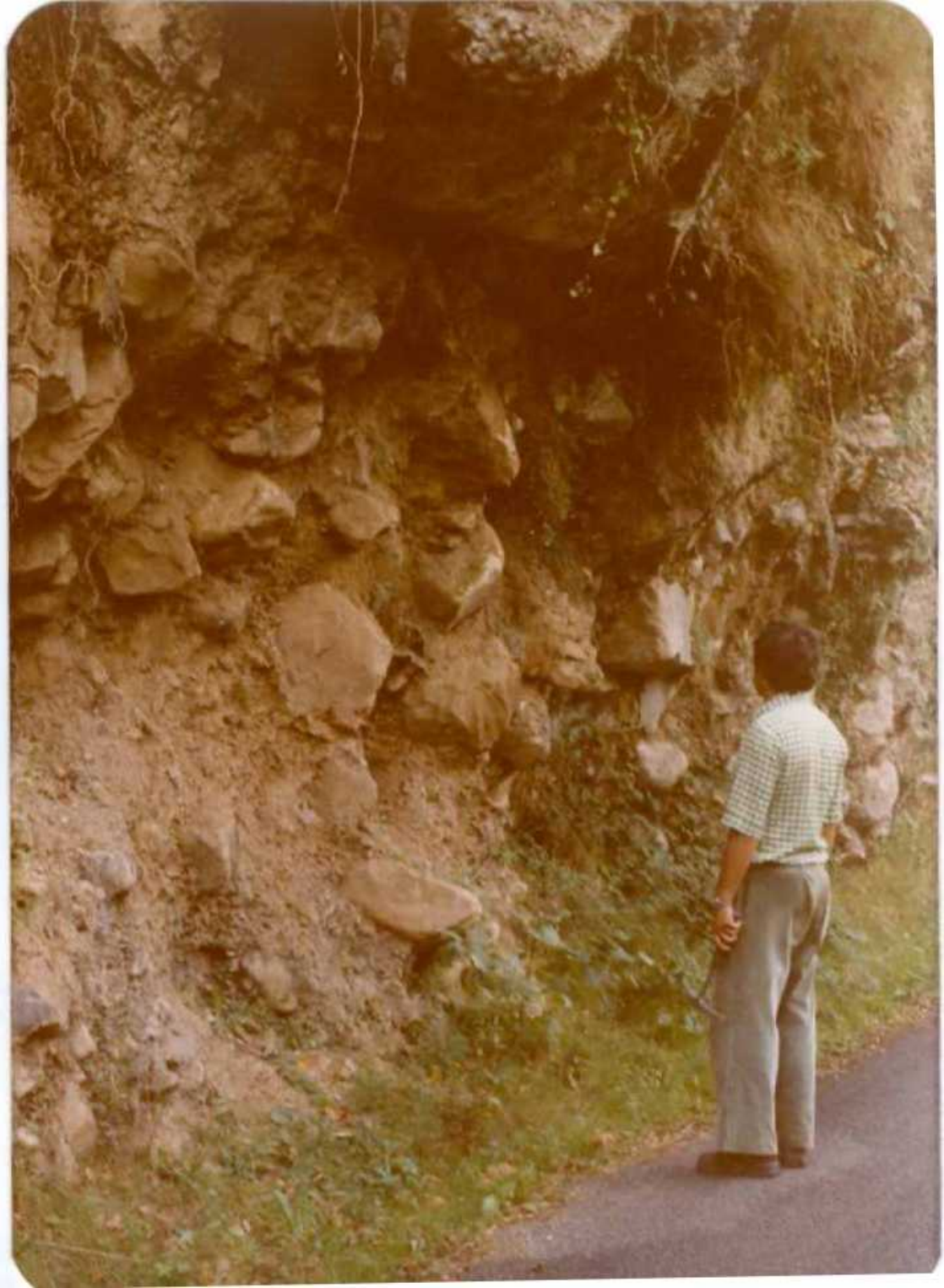


11–08–AD–AC–345.– El núcleo del sinclinal de la Cueta, ocupado por depósitos de origen glaciar. (CM) Caliza de Montaña; (P) Portilla.

11–08–AD–AC–346

Sedimentos glaciares y fluvio-glaciares parcialmente reelaborados.

En la Cra. de Santillana a Pigüeña.



11–08–AD–AC–347

Peñón de Caliza de Montaña caído sobre materiales glaciares en el Arroyo de Cueva, a la altura de Coto.

